

文章编号: 1000-0887(2000) 08_0783_09

一类三角剖分下样条空间 $S_3^1(\Delta)$ 维数^{*}

张湘伟¹, 林 意²

(1. 汕头大学 工学院 机电系, 广东 汕头 515063; 2. 无锡轻工业大学 信控系, 江苏 无锡 214036)

(本刊编委张湘伟来稿)

摘要: 首次提出了一种判别样条空间 $S_3^1(\Delta)$ 维数不依赖剖分几何性质的协调条件. 依此, 在一类较一般的三角剖分下, 获得了 $S_3^1(\Delta)$ 的维数.

关键词: 三角剖分; 样条空间; 协调方程

中图分类号: O189.12 文献标识码: A

引 言

样条空间 $S_3^1(\Delta)$ 的维数问题悬而未决^[1], 文献[2] 提出了分层三角剖分下, $S_3^1(\Delta)$ 的维数不依赖剖分的几何性质. 本文通过对三角剖分拓扑性质的分析, 提出了一种更一般的三角剖分, 在这种剖分下, $S_3^1(\Delta)$ 的维数不依赖剖分的几何性质.

定义 1 设 Ω 为平面单连通多边形, $\Delta = \{T_i\}_{i=1}^r$ 为 Ω 的三角剖分. 对于 $0 \leq \mu \leq k-1$, 定义二元样条空间为:

$$S_k^\mu(\Delta) = \left\{ S \in C^\mu(\Omega) \mid S|_{T_i} \in H_k \right\}, \quad i = 1, 2, \dots, r,$$

其中 H_k 表示二元 k 次多项式的全体.

显然, Δ 中 T_i 的顶点有两种情况, 1° 顶点在 Ω 的边界上, 2° 顶点在 Ω 的内部. 若顶点在 Ω 的内部, 则叫内剖分点, 否则叫边界点. 而 T_i 的边又有两种情况, 1° 至少一个顶点在边界上, 2° 两个顶点都是内剖分点. 前者若仅有一个顶点在边界上, 称为边界剖分线, 后者称为内剖分线. 只有一个内剖分点的标准三角剖分^[3] 叫域.

引理 1 设 Δ 是任意三角剖分, E, V 分别表示剖分线数和剖分点数. 若 E, V 有限, 则存在一内剖分点 O , 使得它至少是两条边界剖分线的公共顶点.

证明 设内剖分点 O_1 仅有一条剖分线与边界点 A 相连. 由于 Δ 是三角剖分, 所以 O_1 属于某个域 O_{11} , 即 O_1 至少与两个和边界相连的剖分点 O_{11}, O_{12} 相连. 如图 1 所示.

设 O_{11} 也仅有一条剖分线与边界相连, (否则取 O_{11} 便可), 又因 O_{11} 属于某个域 O_{11} , 所以 $O_{11}A$ 便为 O_{11} 与边界相连的剖分线. 于是 O_{11} 又与一个有一条剖分线与边界相连的内剖分点 O_{12} 相连. 如图 2 所示. 又因 O_{12} 属于某个域 O_{12} , 所以 $O_{12}A$ 便是这条连接边界的剖分线, 如图 2 所示.

* 收稿日期: 1999_06_26; 修订日期: 2000_04_25

基金项目: 国家自然科学基金资助项目(59975057)

作者简介: 张湘伟(1950—), 男, 山西闻喜人, 教授, 工学博士, 博士生导师, 汕头大学校长.

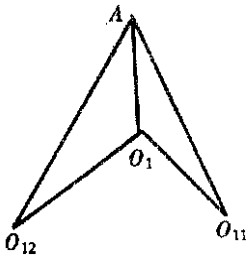


图 1

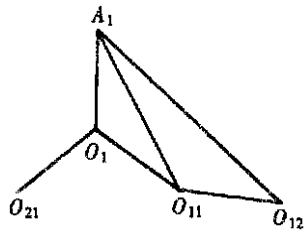


图 2

即 O_{11}, A, O_{12} 组成三角形 $\triangle O_{11}O_{12}A$, 故 $\angle AO_{11}O_{12} < 180^\circ$.

同样 O_{12} 又同个与边界有一条剖分线相连的剖分点 O_{13} 相连, 而且 $O_{13}A$ 便为剖分线, $\angle AO_{12}O_{13} < 180^\circ$. 由此可见, 这样与边界相连的剖分点不断向 O_1O_{11} 一侧发散. 同理, O_{21} 也如此, 相应那些剖分点向 O_1O_{21} 一侧散发. 所以, 要么剖分点数无限大, 要么存在一剖分点有二条或二条以上的边界剖分线与边界相连, (至少一条从 O_{1n} 方向来, 一条从 O_{2n} 方向来). 由题设知, 引理成立.

1 三角剖分的拓扑性质

对于由二个内剖分点 O_1, O_2 组成的三角剖分有下列两种情况, $^1 O_1O_2$ 为内剖分线, $^2 O_1O_2$ 不是内剖分线, 如图 3 所示.

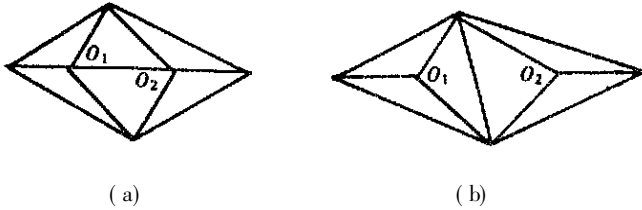


图 3

定义 2 若 \triangle 中任意二内剖分点, 可以用内剖分线联接起来, 则称三角剖分 \triangle 为紧三角剖分.

显然, 图 3(a) 为紧三角剖分, 图 3(b) 不是紧三角剖分. 本文仅限于讨论紧三角剖分. 对非紧三角剖分, 结论不难推广.

把与边界相连的内剖分点记为 $V_1 = \{Q_{1i} \mid i = 1, 2, \dots, k\}$, 显然把这些剖分点按内剖分线相连便成一个拟圈 $C^{[2]}$. V_1 称为第 1 层内剖分点集. 若把第 1 层内剖分点中连接边界的剖分线去掉, 若仍成三角剖分, 则把其圈 C 作为边界点, 又可得第 2 层内剖分点集. 如此, 可得第 3... 第 n 层内剖分点集. 因此, 紧三角剖分为分层三角剖分.

引理 2 分层三角剖分为紧三角剖分.

证明 事实上, 若 O_1 在第 i 层, O_2 在第 j 层, 若 $i = j$, 则因 O_1, O_2 同在一个拟圈上, 故 O_1, O_2 有内剖分线相联. 若 $i \neq j$, 不妨设 $i < j$, 则第 i 层与第 $i+1$ 层有剖分点相连, 设 O'_i, O'_{i+1} 为第 i 层与第 $i+1$ 层相连的剖分点, 因而 O_i 与 O'_{i+1} 有内剖分线相连. 如此类推, O_i 与 O_j 有内剖分线相联.

定义 3 在紧三角剖分中, 若任意一层的三角剖分点有 3 条剖分线或 3 条以上剖分线与

上层剖分点相连, 对第 1 层剖分点, 有 3 条或 3 条以上剖分线与边界相连, 则称三角剖分为 L 型的。

2 三角剖分的协调方程

如图 4 所示, 设二维样条多项式 $S(x, y)$ 为:

$$S(x, y) = \begin{cases} p_1(x, y), & (x, y) \in \Delta AO_1O_2, \\ p_2(x, y), & (x, y) \in \Delta BO_1O_2. \end{cases}$$

于是为了 $S(x, y) \in S_3^1(\Omega)$, 则其充分必要条件为: 存在 $Q(x, y) \in H^1(\Omega)$, 使得:

$$p_1(x, y) - p_2(x, y) = [l(x, y)]^2 \cdot Q(x, y),$$

其中 $l(x, y) = y - y_1 - \frac{y_2 - y_1}{x_2 - x_1}(x - x_1)$

图 4

为 O_1O_2 的方程. $(x_1, y_1), (x_2, y_2)$ 为 O_1, O_2 的坐标. 令 $(y_2 - y_1)/(x_2 - x_1) = a$, 因为 $\{1, y - y_1, y - y_1 + a(x - x_1)\}$ 是 $H^1(\Omega)$ 的基, 所以有:

$$Q(x, y) = C_{11} + C_{21}(y - y_1) + C_{22}[(y - y_1) + a(x - x_1)],$$

因而, 有:

引理 3 $S(x, y) \in S_3^1(\Delta)$ 的充要条件是存在 C_{11}, C_{21}, C_{22} , 使

$$p_1(x, y) - p_2(x, y) = [(y - y_1) - a(x - x_1)]^2 \{ C_{11} + C_{21}(y_2 - y_1) + C_{22}[(y - y_2) + a(x - x_1)] \}.$$

这里, $S(x, y)$ 从 $p_1(x, y)$ 变化到 $p_2(x, y)$, 可以看成是 O_1 从 ΔAO_1O_2 到 ΔBO_1O_2 的. 同理, 绕 O_2 从 ΔAO_1O_2 到 ΔBO_1O_2 时, 由于 $\{1, y - y_2, y - y_2 + a(x - x_2)\}$ 为 $H^1(\Omega)$ 的基. 故

$$Q(x, y) = C_{11} + C_{21}(y - y_2) + C_{22}[(y - y_2) + a(x - x_2)]$$

所以

$$p_2(x, y) - p_1(x, y) = [(y - y_2) - a(x - x_2)]^2 \{ C_{11} + C_{21}(y - y_2) + C_{22}[(y - y_2) + a(x - x_2)] \}.$$

因而, 有下列恒等式:

$$C_{11} + C_{21}(y - y_1) + C_{22}[(y - y_1) + a(x - x_1)] = \left\{ C_{11} + C_{21}(y - y_2) + C_{22}[(y - y_2) + a(x - x_2)] \right\}.$$

注意到: $y_1 - ax_1 = y_2 - ax_2$, 因此

$$\left. \begin{aligned} C_{11} + C_{11} + C_{21}(y - y_2) &= 0, \\ C_{21} - C_{21} &= 0, \\ C_{22} - C_{22} &= 0 \end{aligned} \right\} \quad (1)$$

对于两个剖分点情况.

如图 5 所示, 域 O_1 中有 n_1 个三角形, 域 O_2 中有 n_2 个三角形, O_1 坐标设为 (x_1, y_1) , O_2 坐标为 (x_2, y_2) . 首先分析 O_1 域情况. 把 ΔAO_1O_2 作为第 1 个三角形, 然后按逆时针排序. 设 ΔAO_1O_2 中 $S(x, y) = S_0(x, y)$.

于是在 ΔBO_1O_2 中, 即第 2 个三角形中:

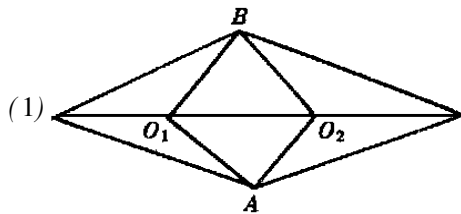


图 5

$$S(x, y) = S_0(x, y) + [l_{11}(x, y)]^2 \left\{ C_{111}^{(1)} + C_{121}^{(1)}(y - y_1) + C_{122}^{(1)}[(y - y_1) + a_{11}(x - x_1)] \right\},$$

其中 $C_{111}^{(1)}$ 、 $C_{121}^{(1)}$ 、 $C_{122}^{(1)}$ 是绕过 O_1O_2 而产生的系数, 称为 O_1O_2 的协调系数. $l_{11}(x, y)$ 是 O_1O_2 的方程. 同理, 从第 2 个三角形到第 3 个三角形后,

$$S(x, y) = S_0(x, y) + [l_{11}(x, y)]^2 \left\{ C_{111}^{(1)} + C_{121}^{(1)}(y - y_1) + C_{122}^{(1)}[(y - y_1) + a_{11}(x - x_1)] \right\} + [l_{12}(x, y)]^2 \left\{ C_{211}^{(1)} + C_{221}^{(1)}(y - y_1) + C_{222}^{(1)}[(y - y_1) + a_{12}(x - x_1)] \right\}.$$

如此下去, 回到 $\triangle AO_1O_2$ 时便有:

$$\sum_{k=1}^{n_1} [l_{1k}(x, y)]^2 \left\{ C_{k11}^{(1)} + C_{k21}^{(1)}(y - y_1) + C_{k22}^{(1)}[(y - y_1) + a_{1k}(x - x_1)] \right\} \equiv 0, \quad \text{对 } \forall (x, y) \in \triangle AO_1O_2.$$

展开后, 令系数为 0, 则

$$\begin{bmatrix} 1 & 1 & \cdots & 1 \\ 2a_{11} & 2a_{12} & \cdots & 2a_{1n_1} \\ a_{11}^2 & a_{12}^2 & \cdots & a_{1n_1}^2 \\ & & & 1 & 1 & 1 & 1 & \cdots & 1 & 1 \\ & & & 2a_{11} & 3a_{11} & 2a_{12} & 3a_{12} & \cdots & 2a_{1n_1} & 3a_{1n_1} \\ & & & a_{11}^2 & 3a_{11}^2 & a_{12}^2 & 3a_{12}^2 & \cdots & a_{1n_1}^2 & 3a_{1n_1}^2 \\ & & & & a_{11}^3 & 0 & a_{12}^3 & \cdots & & a_{1n_1}^3 \end{bmatrix} \begin{bmatrix} C_{111}^{(1)} \\ \vdots \\ C_{n_1 11}^{(1)} \\ C_{121}^{(1)} \\ C_{122}^{(1)} \\ \vdots \\ C_{n_1 21}^{(1)} \\ C_{n_1 22}^{(1)} \end{bmatrix} = 0, \quad (2)$$

同理, 对 O_2 域中绕 O_2 一圈后, 得:

$$\begin{bmatrix} 1 & 1 & \cdots & 1 \\ 2a_{21} & 2a_{22} & \cdots & 2a_{2n_1} \\ a_{21} & a_{22} & \cdots & a_{2n_2} \\ & & & 1 & 1 & 1 & 1 & \cdots & 1 & 1 \\ & & & 2a_{21} & 3a_{21} & 2a_{22} & 3a_{22} & \cdots & 2a_{2n_2} & 3a_{2n_2} \\ & & & a_{21}^2 & 3a_{21}^2 & a_{22}^2 & 3a_{22}^2 & \cdots & a_{2n_2}^2 & 3a_{2n_2}^2 \\ & & & 0 & a_{21}^3 & 0 & a_{22}^3 & \cdots & 0 & a_{2n_2}^3 \end{bmatrix} \begin{bmatrix} C_{111}^{(2)} \\ \vdots \\ C_{n_2 11}^{(2)} \\ C_{121}^{(2)} \\ C_{122}^{(2)} \\ \vdots \\ C_{n_2 21}^{(2)} \\ C_{n_2 22}^{(2)} \end{bmatrix} = 0. \quad (3)$$

注意, $a_{2n_2} = a_{11}$ 为 O_1O_2 斜率.

于是, 联立 (1)、(2)、(3) 便得下列方程组:

- [3] Schumaker L L. In: Schemp W, Zeller K Eds. Multivariate Approximation Theory [C]. Boston: Birkhouse Verlag, 1979, 396—412.

The Dimension of Spline Space $S_{\frac{1}{3}}(\Delta)$ on a Type of Triangulation

ZHANG Xiang_wei¹, LIN Yi²

(1. Shantou University, Shantou, Guangdong 515063, P R China;

2. Wuxi University of Light Industry, Wuxi 214036, P R China)

Abstract: A harmonic condition that can distinguish whether the dimension of spline space $S_{\frac{1}{3}}(\Delta)$ depends on the geometrical character of triangulation is presented, then on a type of general triangulation the dimension is got.

Key words: triangulation; spline space; harmonic condition